

الفصل السابع

تفاعلات استبدال الليجاند

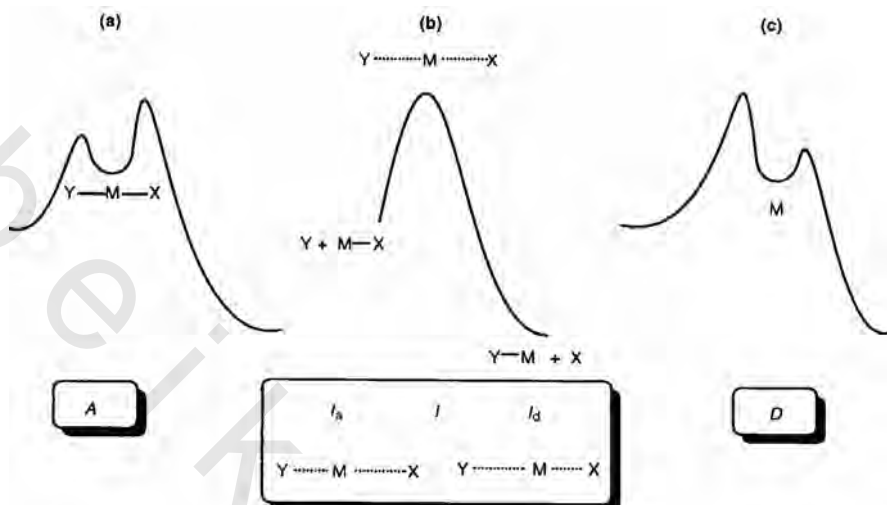
LIGND SUBSTITUTION REACTIONS

تصنف تفاعلات الاستبدال في التفاعلات غير العضوية بالتجمعية (A) والتبادلية (I) والتفككية (D) بإتباع التسمية التي أقترحها كل من لانغفورد وجراي.

يرتبط في الآلية التجمعية (A)، فإن الليجاند الداخلي، γ بالذرة المركزية M، قبل أن يحدث أي إضعاف معتبر لرابطة المجموعة الراحلة X. (الشكل رقم ٧.١). ويعطي تكوين الرابطة Y-M الجديدة ناتجاً وسطياً بعدد تناسق أعلى ويتضمن شكل التفاعل حالتين انتقاليتين - تؤدي الأولى إلى تكوين الناتج الوسطي وتؤدي الثانية إلى فقدان X لتكون ناتج الإحلال أو الاستبدال MX. بالنسبة للآلية التفككية D، فإن الليجاند X، يرحل قبل أن تكون المجموعة الداخلية، Y، أي رابطة مع M. وبذا يتكون ناتج وسيط بعدد تناسق أقل. إن تكوين مثل هذا وسيط ينتج كذلك قمتين في شكل التفاعل (الشكل رقم ٧.٢ج)، ولكن طاقة التنشيط المؤدية إلى الناتج وسيط أكبر من طاقة تكسره. إن عمق المنخفض بين القمتين يحدد تركيز الحالة الثابتة للناتج وسيط وإذا كان معتبراً فيمكن استبيان أو كشف الناتج وسيط بالطرق الطيفية.

عملياً فإن كشف الناتج وسيط مهم للتعرف على الآلية إما A أو D. إذا كانت عمليات تكوين وكسر الرابطة تحدث تزامناً وبالتالي توصف الآلية التفاعل المتاغم الناتج تفاعل تبادلي I.

يتضمن شكل التفاعل (الشكل رقم ٧.١ب) قمة وحيدة فقط ولا يتكون ناتج وسيط.



. الشكل رقم (١٧). تسمية تفاعلات الاستبدال: $Y+M-X \rightarrow Y-M+X$

في الممارسة فإن دراسة التفاعلات غير العضوية قد قادت إلى طيف سلوكى كامل من A إلى D ، وافتضرت الحاجة إلى تقسيم جزئي للفئة I. إذا كانت عملية تكوين وكسر الرابطة ليست متزامنة تماماً فقد ينشأ ناتج وسيط ولكن قد لا تكون طاقة استقراره كبيرة بما يكفيه ليكون بتراكيز وافرة تسمح بكشفه طيفياً. إذا حدث تكوين الرابطة بطريقه ما أكثر سرعة من كسرها فإن الآلية تعرف بـ: I_a ، في حين أنه إذا حدث كسر الرابطة بسرعة أكثر من تكوينها فإن الآلية تعرف بـ: I_d .

بجانب كشف الناتج الوسيط ، فإن حجم التنشيط لتفاعل الذي يتم الحصول عليه بدراسة أثر الضغط على معدل سرعة التفاعل ، قد يوفر دلالة إذا ما كانت الآلية تصنف أحسن كـ: A ، I_a ، I ، I_d أو D. للتفاعلات التفككية أحجام تنشيط موجبة كبيرة لأن تكوين الناتج الوسيط يستلزم تحرير ليجاند ، في حين أن للتفاعلات التجميعية أحجام تنشيط سالبة ، بالنسبة إلى تفاعلات التبادل فإن أحجام التنشيط قريبة من الصفر ، مع I_d موجبة قليلاً و I_a سالبة قليلاً.

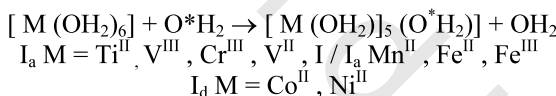
يمكن أن توفر إن إنتروبيا التنشيط طريقة للتمييز بين الآليات (الجدول رقم ٧,١ للأمثلة).

الجدول رقم (٧,١). بعض انتروبيا (mol^{-1}) وأحجام ($\text{cm}^3 \text{ mol}^{-1}$) التنشيط لمبادلة ثانوي ميشيل الفورمamide في معدنات ثنائية الأوجه عالية المغزل (DMF).

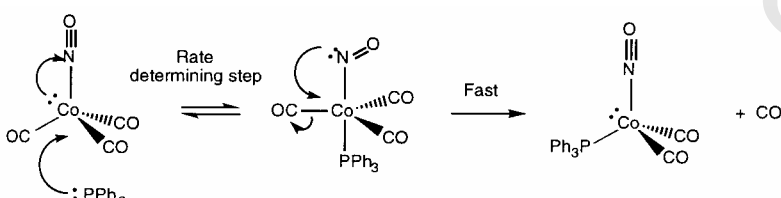
	ΔS^{++}	ΔV^{++}
$[\text{Al}(\text{dmf})_6]^{3+}$	28	+13.7
$[\text{Cr}(\text{dmf})_6]^{3+}$	-43	-6.3
$[\text{Fe}(\text{dmf})_6]^{3+}$	-69	-0.9
$[\text{Fe}(\text{dmf})_6]^{2+}$	+14	+8.5
$[\text{Ni}(\text{dmf})_6]^{2+}$	+34	+9.1

أمثلة محددة

تفاعل التبادل التالي:



يتم من خلال آلية تبادلية، ولكن حجم التنشيط يختلف تماثلياً على طول السلسلة الانتقالية الأولى من $12 \text{ cm}^3 \text{ mol}^{-1}$ بالنسبة إلى أيونات فلزية على الجانب اليسار من السلسلة الانتقالية (مقترحة الآلية I_a) إلى $7 \text{ cm}^3 \text{ mol}^{-1}$ لأيونات فلزية على الجانب الأيمن من السلسلة الانتقالية (مقترحة الآلية I_d). انظر الشكل رقم (٧,٢) لتفسير هذا التغير في الآلية.



الشكل رقم (٧,٢). الاستبدال النيكلوفيلي بجزيء الماء الموسم يفضل على طول المخور ثلاثي الطيات بشمالي الأوجه لأسباب تعوقبة.

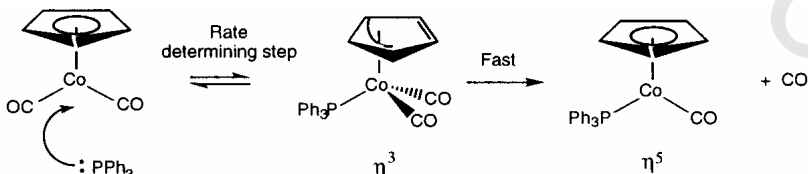
تتجه المدارات dz^2 و $y^2 - x^2$ بالفلز مباشرة نحو الليجاندات وللمدارات dxy ، dxz ، dyz قمة بين المحاور. إذا كان مداراً واحداً أو أكثر من هذا المدارات فارغة فإن الزوج الحر على جزيء الماء الداخل يستطيع أن يدخل في تداخل مفضل استقرارياً بمدارين وإلكترونين. هذا يشجع على الآلية I_a . ولكن إذا كانت ممثلة تماماً فسيكون وبالتالي تدخلاً تنافرياً من الزوج الحر والمدار d الممتنى وتصبح الآلية I_a أقل تفضيلاً.

تفاعلات تجميعية

تم تفاعلات الاستبدال للمركبات رباعية الأوجه لعناصر المجموعة 14 و 15 مثل MR_3Cl ($M=Si, Ge, Sn$) و تفاعلات استبدال الفوسفين لمعقدات الفلزات الانتقالية رباعية الأوجه مثل $MCl_2(PR_3)_2$ ($M=Co, Ni$). بطريقة آلية تجميعية.

تفاعلات الاستبدال لمعقدات d^8 المربعة المسطحة

قد تتضمن هذه إما هجوماً مباشراً بالليجاند أو جزيء المذيب النيكليوفيلي. والناتج الوسيط خماسي التناسق قد يتبع كآلية A. والشائع أكثر أنه ليس كآلية (I_a) . وتقع أحجام التنشيط في المدى بين 10^{-5} إلى 10^{-1} $\text{cm}^3 \text{ mol}^{-1}$. وتقوم معقدات الفلزات الانتقالية العضوية ذات الـ 18 إلكترون التي لها ليجاندات قادرة أن تعامل إما كمانحة n أو $(n-2)$ إلكترون مثل NO و C_5H_5 بتفاعلات استبدال تجميعية.



وبتلك الوسيلة فإن المعقد الابتدائي والناتج النهائي ومعقد الحالة الانتقالية يعمل وفق قاعدة (EAN) العدد الذري الفعال.

تفاعلات تفككية

تم تفاعلات الاستبدال لمعقدات الفلزات الانتقالية العضوية ذات الـ 18 إلكترون وبصفات منح الكتروني غير مكتسبة مثل CO ، PR_3 ، NH_3 ، عن طريق آلية تفككية، مثلاً، فإن تفاعلات $\text{Cr}(\text{CO})_6$ ، $\text{Ni}(\text{P}(\text{OEt})_3)_4$ و $[\text{Rh}(\text{NH}_3)_6]^{3+}$ لها عامة قانون معدل سرعة من الرتبة الأولى (معدل السرعة = K [معقد]).

إذا وجد ناتج وسيط بعدد تناصق منخفض وهناك حجم تنشيط موجب كبير فإن الآلية هي D. إن غياب الناتج الوسيط ويقانون معدل السرعة من النوع : معدل السرعة = K [معقد] [ليجاند] سوياً مع حجم تنشيط موجب قليل، كل ذلك يقترح الآلية I_d .
معدلات سرعة استبدال ليجاند المعقدات الفلزية

يلخص الجدول رقم (٧.٢) ثوابت معدل السرعة لتبادل الماء في سلسلة من المعقدات. من الواضح أن الأيونات M^{2+} (المائية) أكثر قابلية بكثير من الأيونات M^{3+} (المائية)، وتزداد معدلات السرعة مع ازدياد حجم الأيون بالنسبة للعناصر غير الفلزية. وتعتمد معدلات السرعة داخل السلسلة M^{2+} (المائية) كثيراً جداً على الترتيب d الإلكتروني للأيونات.

إن أكثر الأيونات خمولاً هو Ni^{2+} (المائي)، d^8 ، الذي له أعلى طاقات استقرار المجال الليجاندي لعقد عالي المغزل. إن إضافة الليجاند أو فقده سيؤدي إلى بعض فقد طاقة الاستقرار هذه. إن المعقدات d^5 و منخفض المغزل d^6 كذلك خاملة بسبب فقد طاقة الاستقرار عند تحقيق الحالة الانتقالية.

للأيونات d^5 ، d^6 و d^7 معدلات سرعة تبادلية بقيمة $10^7 - 10^6 \text{ s}^{-1}$ تقريرياً وهي في المدى المتوقع للأيونات M^{2+} المائية بناءً على حجم الآثار. بالنسبة لهذه الأيونات فإن طاقات استقرار المجال الليجاندي لثمانين الأوجه هي صفر (d^5 ، d^6) أو صغيرة (Fe^{2+} ، d^6 ، Co^{2+} ، d^7). وعلى العكس وبالنسبة إلى معقدات

Cr^{2+} ، Cu^{2+} ، d^4 ، d^9 فهـي بالذات قابلـة (معدلات سرعة $\approx 10^9 \text{ s}^{-1}$) لأن معقدات بمثـل هذا الترتـيب الـالكتـروـنـي مـعـروـفـة لـهـا بـنيـات هـندـسـيـة ثـمـانـيـة الأـوـجـه غـيرـمـنـتـظـمة. عمـومـاً، فإنـلـهـذـهـمـعـقـدـاتـبـنيـاتـهـنـدـسـيـةـرـبـاعـيـةـأـوـجـهـمـشـوـهـةـ. يـنـشـأـهـذـهـالتـشـوـهـمـنـاستـقـرـارـمـدارـ d_z^2 ـفـيـمـجـمـوعـةـ e_g ـمـلـدـارـاتـثـمـانـيـةـأـوـجـهـ.

يمـكـنـاستـخـدـامـنـمـوذـجـالـإـتـلـافـالـزاـويـلـحـسـابـطـاقـاتـبـنيـاتـهـنـدـسـيـةـثـمـانـيـةـأـوـجـهـالمـغـطـاطـةـ. إـنـفـرقـفـيـالـطاـقـةـأـصـغـرـبـالـنـسـبـةـإـلـىـمـعـقـدـاتـ d^2 ـوـمـعـقـدـاتـ d^4 ـمـنـخـفـضـةـالـمـغـزـلـ.

الجدول رقم (٧,٢). ثوابـتـمـعـدـلـاتـالـسـرـعـةـ، k ـلـبـادـلـةـ OH_2 ـعـنـدـ 25°C .

Metal Ion	D''	k/s^{-1}
$[\text{Na}(\text{OH}_2)_6]^{+}$	0	8×10^9
$[\text{Mg}(\text{OH}_2)_6]^{2+}$	0	1×10^5
$[\text{Ca}(\text{OH}_2)_6]^{2+}$	0	2×10^8
$[\text{Sr}(\text{OH}_2)_6]^{2+}$	0	4×10^8
$[\text{Al}(\text{OH}_2)_6]^{3++}$	0	1.8
$[\text{Ga}(\text{OH}_2)_6]^{3+}$	0	1×10^3
$[\text{In}(\text{OH}_2)_6]^{3+}$	0	2×10^5
$[\text{Cr}(\text{OH}_2)_6]^{3+}$	3	3×10^{-6}
$[\text{Cr}(\text{OH}_2)_6]^{2+}$	4	7×10^9
$[\text{Mn}(\text{OH}_2)_6]^{2+}$	5	3×10^7
$[\text{Fe}(\text{OH}_2)_6]^{3+}$	5	3×10^3
$[\text{Fe}(\text{OH}_2)_6]^{2+}$	6	3×10^6
$[\text{Co}(\text{OH}_2)_6]^{2+}$	7	1×10^6
$[\text{Ni}(\text{OH}_2)_6]^{2+}$	8	3×10^4
$[\text{Cu}(\text{OH}_2)_6]^{2+}$	9	8×10^9
$[\text{Zn}(\text{OH}_2)_6]^{2+}$	10	2×10^7

لـنـقـاشـأـكـمـلـلـطـاقـاتـاستـقـرـارـالـمـجـالـالـليـجـانـديـانـظـرـصـفـحةـ٢٠ـوـ١٩ـ:

R. A. Henderson, The Mechanism of Reaction at Transition Metal Sites, OUP, Oxford, 1993, p 27-28.